

TRIODE PENTODE; triode section for use as frame time base oscillator and A.F. amplifier; pentode section for use as frame output tube and A.F. output tube  
 TRIODE-PENTHODE; la triode pour utilisation comme oscillatrice pour la déviation verticale et comme amplificatrice B.F.; la penthode pour utilisation comme tube de sortie de déviation verticale et comme tube de sortie B.F.  
 TRIODE-PENTODE; die Triode zur Verwendung als Oszillatör für die vertikale Ablenkung und als NF-Verstärker; die Pentode zur Verwendung als Endröhre für die vertikale Ablenkung und als NF-Endröhre

Heating : indirect by A.C. or D.C.  
 parallel supply

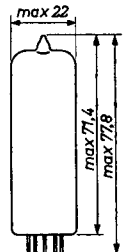
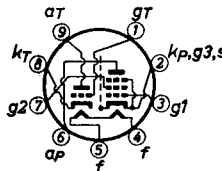
Chauffage: indirect par C.A. ou C.C.  
 alimentation parallèle

$V_f = 6,3 \text{ V}$

Heizung : indirekt durch Wechsel-  
 oder Gleichstrom; Paral-  
 lelspeisung

$I_f = 780 \text{ mA}$

Dimensions in mm  
 Dimensions en mm  
 Abmessungen in mm



Base, culot, Sockel: NOVAL

Capacitances  
 Capacités  
 Kapazitäten

Triode section  
 Partie triode  
 Triodenteil

Pentode section  
 Partie penthode  
 Pentodenteil

$C_g = 2,7 \text{ pF}$

$C_{g1} = 9,3 \text{ pF}$

$C_a = 4,3 \text{ pF}$

$C_a = 8,0 \text{ pF}$

$C_{ag} = 4,2 \text{ pF}$

$C_{ag1} < 0,3 \text{ pF}$

$C_{gf} < 0,1 \text{ pF}$

$C_{g1f} < 0,3 \text{ pF}$

Between triode and pentode section  
 Entre la partie triode et penthode  
 Zwischen Trioden- und Pentodenteil

$C_{aT-g1P} < 0,02 \text{ pF}$

$C_{gT-ap} < 0,02 \text{ pF}$

$C_{gT-g1P} < 0,025 \text{ pF}$

$C_{aT-ap} < 0,25 \text{ pF}$

**ECL 82****PHILIPS**

Typical characteristics of the pentode section  
 Caractéristiques types de la partie penthode  
 Kenndaten des Pentodenteils

$V_a$	=	100	170	200	200 V
$V_{g2}$	=	100	170	170	200 V
$V_{g1}$	=	-6,0	-11,5	-12,5	-16 V
$I_a$	=	26	41	35	35 mA
$I_{g2}$	=	5,0	8,0	6,5	7,0 mA
$S$	=	6,8	7,5	6,8	6,4 mA/V
$R_1$	=	15	16	20,5	20 kΩ
$\mu_{g2g1}$	=	10	9,5	9,5	9,5

Typical characteristics of the triode section  
 Caractéristiques types de la partie triode  
 Kenndaten des Triodenteils

$V_a$	=	100 V
$V_g$	=	0 V
$I_a$	=	3,5 mA
$S$	=	2,5 mA/V
$\mu$	=	70

Operating characteristics of the pentode section as audio output tube, class A  
 Caractéristiques d'utilisation de la partie penthode comme tube de sortie B.F., classe A  
 Betriebsdaten des Pentodenteils als NF-Endröhre, Klasse A

$V_a$	=	100	170	200	200 V
$V_{g2}$	=	100	170	170	200 V
$V_{g1}$	=	-6,0	-11,5	-12,5	-16 V
$I_a$	=	26	41	35	35 mA
$I_{g2}$	=	5,0	8,0	6,5	7,0 mA
$S$	=	6,8	7,5	6,8	6,4 mA/V
$R_1$	=	15	16	20,5	20 kΩ
$\mu_{g2g1}$	=	10	9,5	9,5	9,5
$R_a$	=	3,9	3,9	5,6	5,6 kΩ
$W_o$ ( $d_{tot} = 10\%$ )	=	1,05	3,3	3,4	3,5 W
$V_i$ ( $d_{tot} = 10\%$ )	=	3,8	6,0	5,8	6,6 V <sub>eff</sub>
$V_i$ ( $W_o = 50 \text{ mW}$ )	=	0,65	0,59	0,56	0,6 V <sub>eff</sub>

Optimum peak anode current of the pentode section in frame output application.

To allow for tube spread and for deterioration during life the circuit should be designed around a peak anode current  $I_{ap}$  not exceeding

85 mA at  $V_a = 50$  V,  $V_{g2} = 170$  V

At underheating ( $V_f = 5.5$  V) the following values of  $I_{ap}$  must be considered

$I_{ap} = 70$  mA at  $V_a = 50$  V and  $V_{g2} = 170$  V

$I_{ap} = 80$  mA at  $V_a = 50$  V and  $V_{g2} = 190$  V

The peak anode current of an average new tube is

135 mA at  $V_a = 50$  V,  $V_{g2} = 170$  V,  $I_{g1} = 0.3$   $\mu$ A

Courant anodique de crête optimum de la partie penthode comme tube de sortie pour la déviation verticale

Pour tenir compte des tolérances du tube et la dégradation en service, le circuit devra être conçu pour un courant anodique de crête  $I_{ap}$  ne dépassant pas une valeur de

85 mA à  $V_a = 50$  V,  $V_{g2} = 170$  V

A un chauffage unsuffisant ( $V_f = 5.5$  V) on doit tenir compte des valeurs suivantes:

$I_{ap} = 70$  mA à  $V_a = 50$  V et  $V_{g2} = 170$  V

$I_{ap} = 80$  mA à  $V_a = 50$  V et  $V_{g2} = 190$  V

Le courant anodique de crête d'un tube nouveau moyen est de

135 mA à  $V_a = 50$  V,  $V_{g2} = 170$  V,  $I_{g1} = 0.3$   $\mu$ A

Höchstwert des Anoden spitzenstromes des Pentodenteils als Endröhre für die vertikale Ablenkung

Um den Röhrentoleranzen und dem Absinken der Röhrenkennwerte während der Lebensdauer Rechnung zu tragen, soll die Schaltung entworfen werden für einen Höchstwert des Anoden spitzenstromes von

$I_{ap} = 85$  mA bei  $V_a = 50$  V,  $V_{g2} = 170$  V

Bei Unterheizung (Heizspannung = 5.5 V) muss man mit folgenden Werten rechnen:

$I_{ap} = 70$  mA bei  $V_a = 50$  V und  $V_{g2} = 170$  V

$I_{ap} = 80$  mA bei  $V_a = 50$  V und  $V_{g2} = 190$  V

Der Anoden spitzenstrom einer durchschnittlichen neuen Röhre bei Normalheizung beträgt

$I_{ap} = 135$  mA bei  $V_a = 50$  V,  $V_{g2} = 170$  V,  $I_{g1} = +0.3$   $\mu$ A

The triode section can be used without special precautions against microphonic effect and hum in circuits in which an input voltage  $V_1 \geq 10$  mVeff gives an output of 50 mW

La partie triode peut être utilisée sans précautions spéciales contre l'effet microphonique et le ronflement dans des circuits où une tension d'entrée  $V_1 \geq 10$  mVeff résulte en une puissance de sortie de 50 mW

Der Triodenteil darf ohne spezielle Massnahmen gegen Mikrophonie und Brumm in Schaltungen verwendet werden, die für eine Eingangsspannung  $V_1 \geq 10$  mVeff eine Ausgangsleistung von 50 mW ergeben

#### Optimum peak cathode current of the triode section as frame time base oscillator

To allow for tube spread, for deterioration during life and for emission drop at underheating the equipment should be so designed that it still operates satisfactorily with a peak cathode current of 200 mA (max. pulse duration 4% of a cycle, with a maximum of 0.8 msec.). The amplitude of the peak current occurring with new tubes should be limited automatically to this max. value of 200 mA. (e.g. by non-bypassed resistances in the grid lead)

If no automatic limitation is present the equipment should be designed around a peak cathode current of 100 mA

#### Courant cathodique de crête optimum de la partie triode comme oscillatrice pour la déviation verticale

Pour tenir compte de la dispersion, de la dégradation en service et de la chute de l'émission lors d'un chauffage insuffisant, l'appareil devra être conçu de telle façon qu'il donne encore toute satisfaction avec un courant cathodique de crête de 200 mA. (Durée maximum de l'impulsion 4% d'une période avec un maximum de 0,8 msec.) Il faut limiter automatiquement l'amplitude du courant de crête à cette valeur maximum de 200 mA se produisant avec des tubes neufs (p.e. par des résistances non-shuntées dans la connection de grille)

S'il n'existe aucune limitation automatique, l'appareil devra être étudié pour fonctionner avec un courant cathodique de crête de 100 mA

#### Höchstwert des Katodenspitzenstromes des Triodenteils bei Verwendung als Oszillatator für die vertikale Ablenkung

Um den Röhrentoleranzen, dem Absinken der Röhrenkenwerte während der Lebensdauer und der Emissionsabnahme bei Unterheizung Rechnung zu tragen, soll das Gerät so ausgelegt werden, dass es bei einem Katodenspitzenstrom von 200 mA noch einwandfrei arbeitet (Impulzdauer max. 4% einer Periode, aber nicht länger als 0,8 ms). Man soll die Amplitude der bei neuen Röhren auftretenden Spitzenstrom automatisch auf diesem maximalen Wert von 200 mA begrenzen (z.B. durch nicht überbrückte Widerstände in der Gitterleitung). Ist keine automatische Begrenzung vorgesehen, so ist das Gerät für einen Katodenspitzenstrom von 100 mA auszulegen

Operating characteristics of the triode section as A.F.  
amplifier  
Caractéristiques d'utilisation de la partie triode comme  
amplificatrice B.F.  
Betriebsdaten des Triodenteils als NF-Verstärker

Signal source resistance 220 kΩ

Résistance interne de la source de signal 220 kΩ  
Generator-Innenwiderstand 220 kΩ

$$R_g = 3 \text{ MΩ} \quad R_{g1'} = 680 \text{ kΩ}^1)$$

$V_b$ (V)	$R_K$ (kΩ)	$R_a$ (kΩ)	$I_a$ (mA)	$V_o$ (Veff)	$\frac{V_o}{V_1}^2$ )	$d_{tot}$ (%)
200	2,2	220	0,52	26	52	1,6 <sup>3)</sup>
170	2,7	220	0,43	25	51	2,3 <sup>3)</sup>
100	2,7	220	0,23	15	47	4,0 <sup>3)</sup>

$$R_g = 22 \text{ MΩ} \quad R_{g1'} = 680 \text{ kΩ}^1)$$

200	0	100	1,05	24	50	1,5 <sup>4)</sup>
170	0	100	0,86	19	49	1,4 <sup>4)</sup>
100	0	100	0,37	8	42	1,3 <sup>3)</sup>
200	0	220	0,61	25	55	1,4 <sup>4)</sup>
170	0	220	0,50	20	53	1,4 <sup>4)</sup>
100	0	220	0,22	9	46	1,5 <sup>3)</sup>

- 1) Grid leak of the following tube  
Résistance de fuite du tube suivant  
Gitterableitwiderstand der folgenden Röhre
- 2) Measured at small input voltage  
Mesuré à une tension basse  
Gemessen bei niedriger Eingangsspannung
- 3) At lower output voltages the distortion is proportionally lower  
A des tensions de sortie plus basses la distorsion est proportionnelle à la tension de sortie  
Bei niedrigeren Ausgangsspannungen ist der Klirrfaktor der Ausgangsspannung proportional
- 4) At lower output voltages the distortion remains approx. constant up to  $V_o = 5 \text{ Veff}$ . At values < 5 Veff the distortion is proportionally lower  
A des tensions de sortie plus basses la distorsion reste environ constante jusqu'à  $V_o = 5 \text{ Veff}$ . A des valeurs < 5 Veff la distorsion est réduite proportionnellement  
Bei kleineren Ausgangsspannungen bleibt der Klirrfaktor annähernd konstant bis  $V_o = 5 \text{ Veff}$ . Unterhalb 5 Veff ist der Klirrfaktor der Ausgangsspannung proportional

## Limiting values of the pentode section

Caractéristiques limites de la partie penthode  
Grenzdaten des Pentodenteils

$V_{a_0}$	= max.	550 V	$W_{g2}$	= max.	1,8 W
$V_a$	= max.	300 V	$W_{g2p}$	= max.	3,2 W
$V_{a_p}$	= max.	2500 V <sup>4)</sup>	$I_k$	= max.	50 mA
$-V_{a_p}$	= max.	500 V	$R_{g1}$	= max.	$1 M\Omega^7)$
$W_a$	= max.	5 W <sup>5)</sup>	$R_{g1}$	= max.	$2 M\Omega^8)$
$W_a$	= max.	7 W <sup>6)</sup>	$V_{kf}$	= max.	100 V
$V_{g2o}$	= max.	550 V	$R_{kf}$	= max.	20 kΩ
$V_{g2}$	= max.	300 V			

## Limiting values of the triode section

Caractéristiques limites de la partie triode

Grenzdaten des Triodenteils

$V_{a_0}$	= max.	550 V	$R_g$	= max.	$1 M\Omega^7)$
$V_a$	= max.	300 V	$R_g$	= max.	$3 M\Omega^8)$
$V_{a_p}$	= max.	600 V <sup>4)</sup>	$R_g$	= max.	$22 M\Omega^9)$
$W_a$	= max.	1 W	$V_{kf}$	= max.	100 V
$I_k$	= max.	15 mA	$R_{kf}$	= max.	20 kΩ
			$Z_g(50 \text{ c/s})$	= max.	500 kΩ

<sup>4)</sup> Max. pulse duration 4% of a cycle with a maximum of 0.8 msec.

Durée de l'impulsion max. 4% d'un cycle avec un maximum de 0,8 msec.

Impulsdauer max. 4% einer Periode mit einem Maximum von 0,8 msec.

<sup>5)</sup> For frame output application

En cas d'utilisation comme tube de sortie pour la déviation verticale

Bei Verwendung als Endröhre für die vertikale Ablenkung

<sup>6)</sup> For audio output application

En cas d'utilisation comme tube de sortie B.F.

Bei Verwendung als NF-Endröhre

<sup>7)</sup> With fixed bias

Avec polarisation fixe

Mit fester Gittervorspannung

<sup>8)</sup> With automatic bias

Avec polarisation automatique

Mit automatischer Gittervorspannung

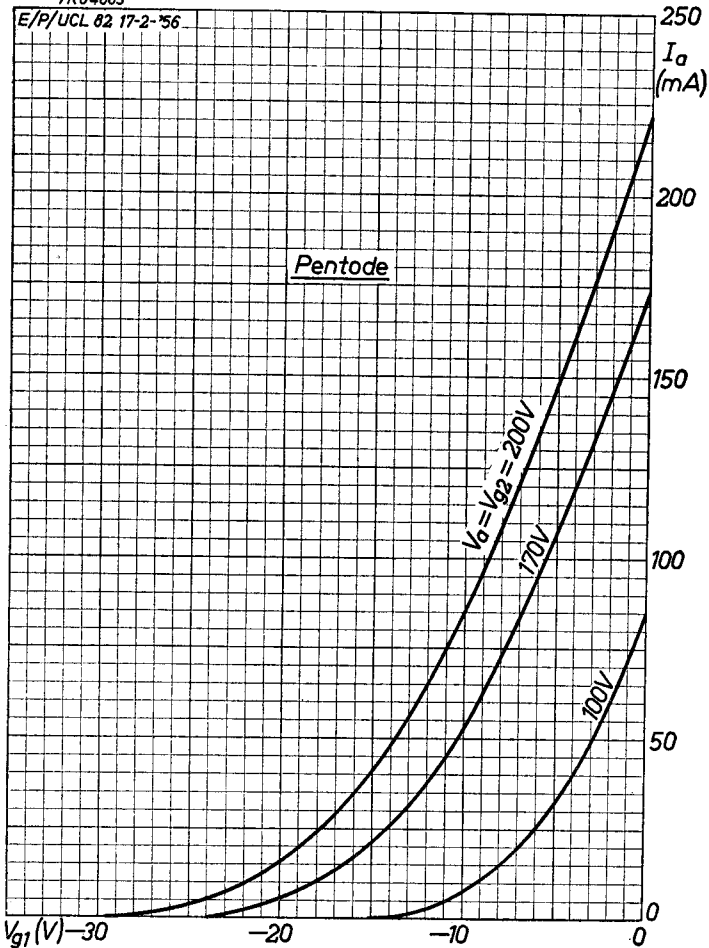
<sup>9)</sup> With grid current biasingSi la polarisation est obtenue seulement par moyen de  $R_g$ Wenn die Gittervorspannung nur mittels  $R_g$  erhalten wird

# PHILIPS

## ECL 82

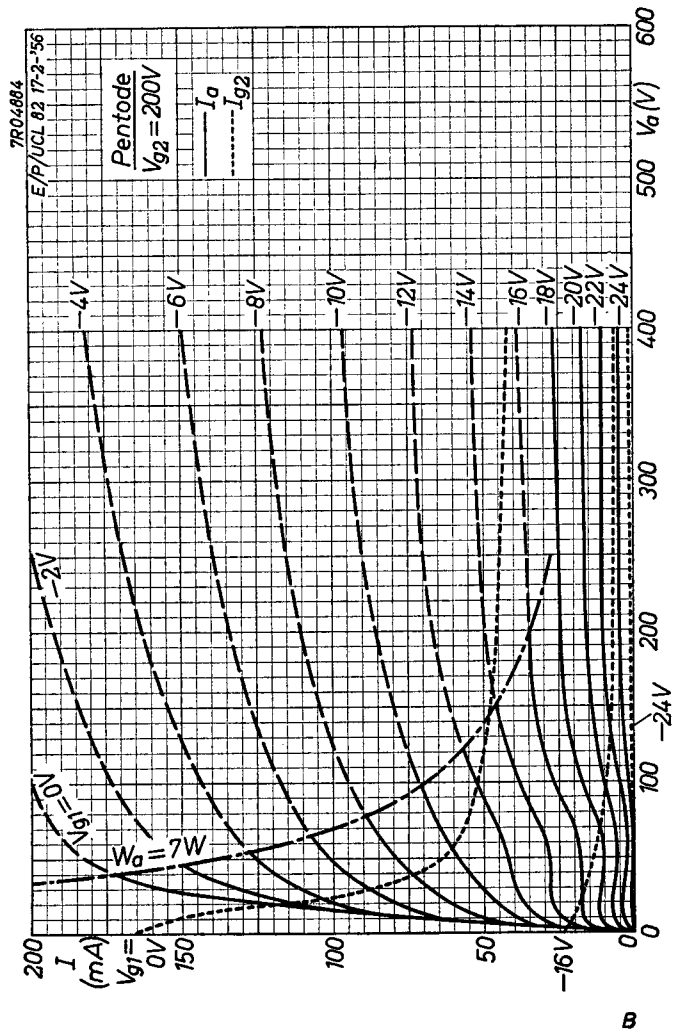
7R04883

E/P/UCL 82 17-2-56



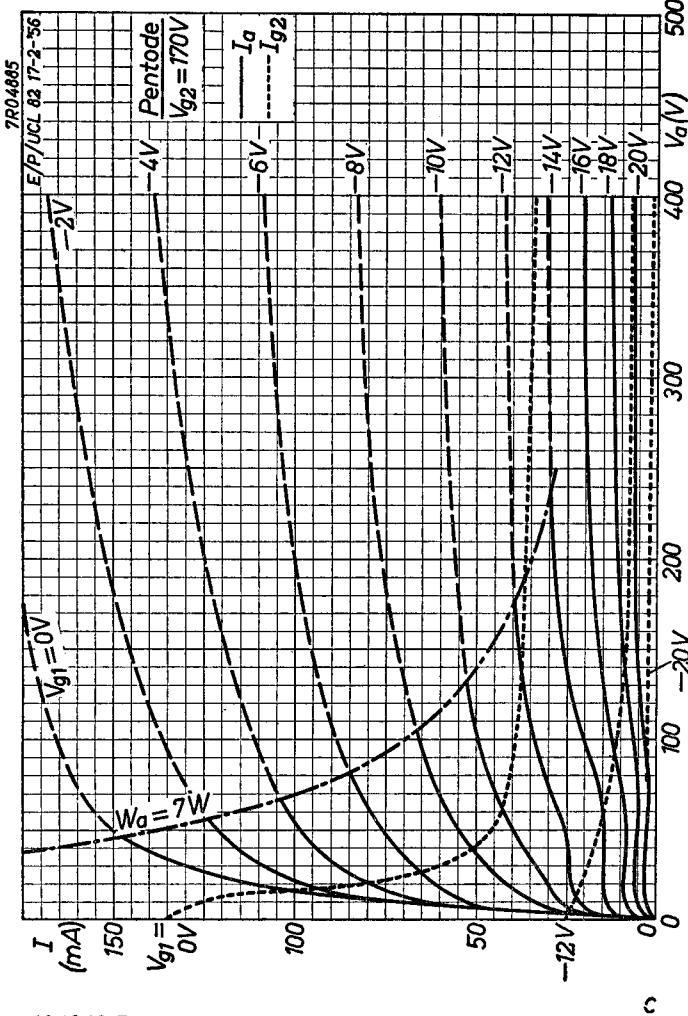
**ECL 82**

**PHILIPS**



# PHILIPS

# ECL 82



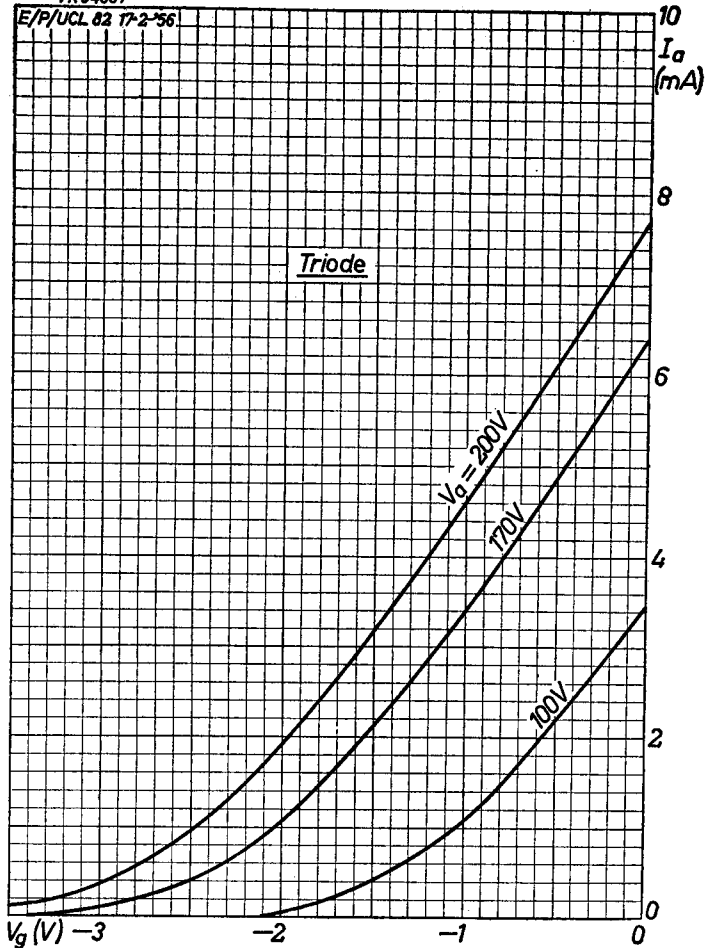
10.10.1957

**ECL 82**

**PHILIPS**

7R04887

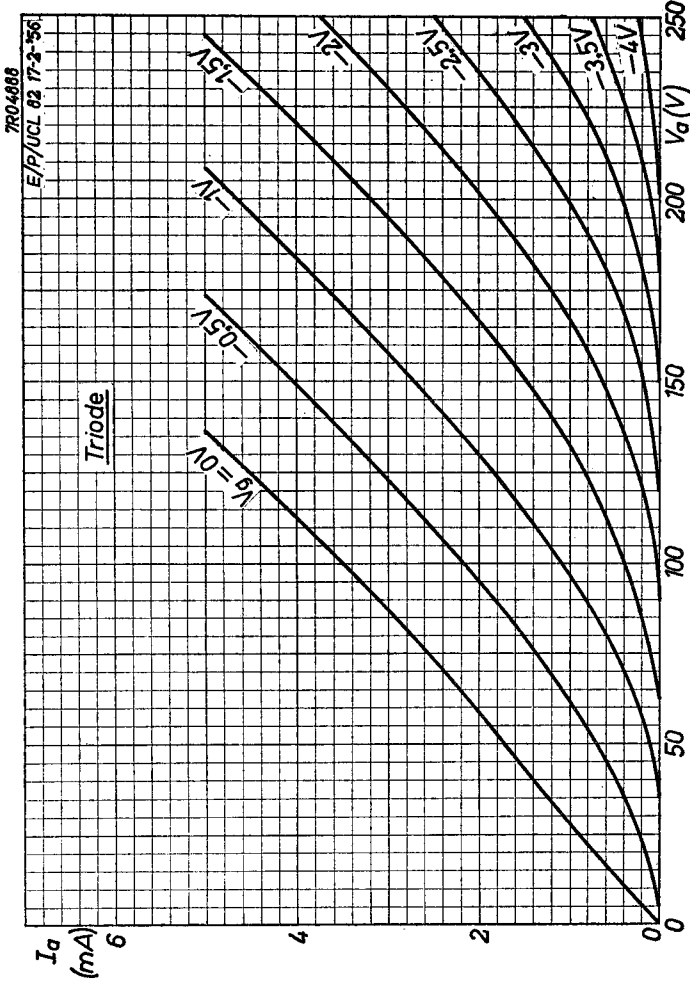
E/P/UCL 82 T7-2-56



D

# PHILIPS

# ECL 82

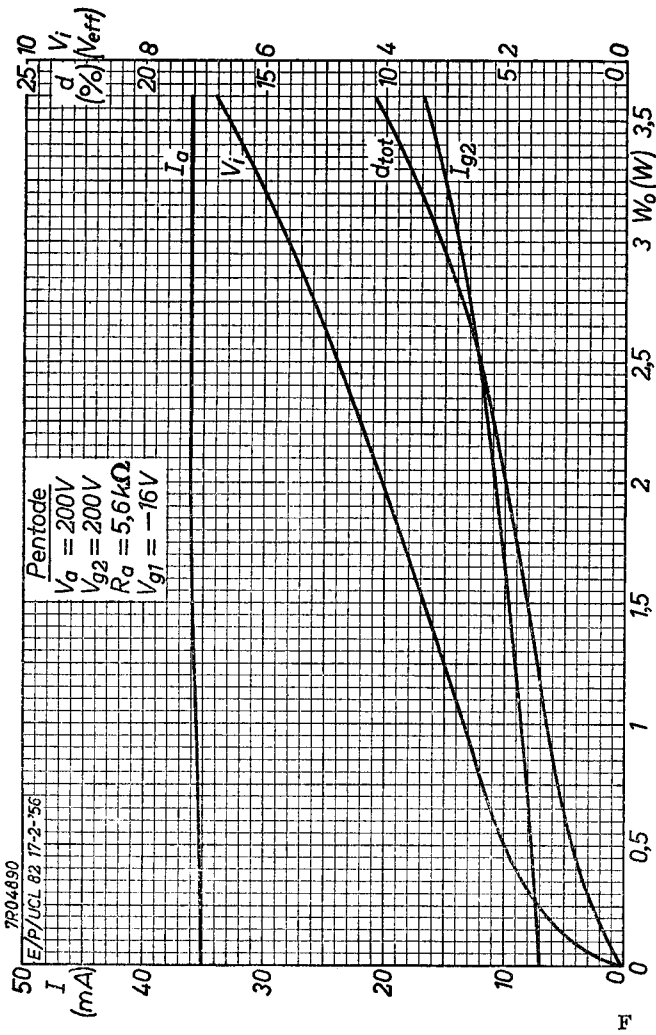


10.10.1957

E

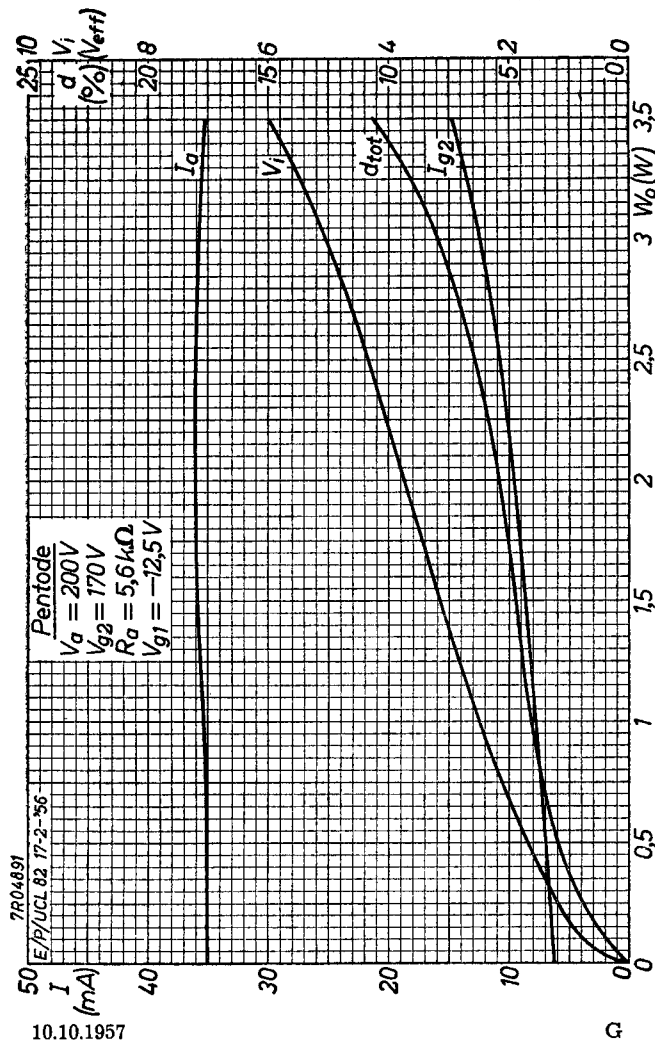
**ECL 82**

**PHILIPS**



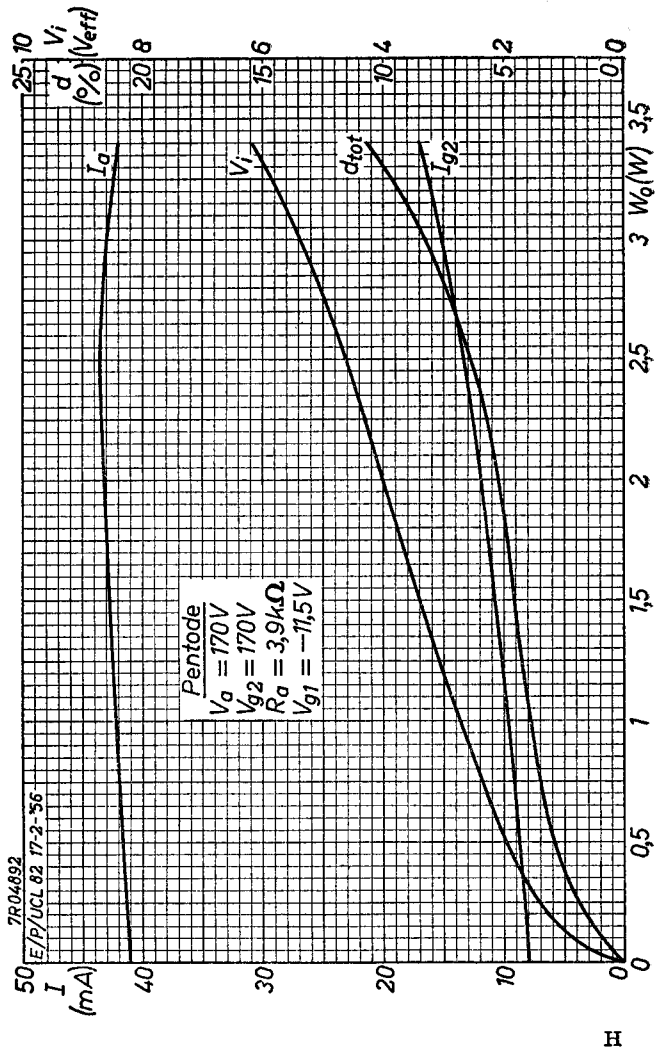
# PHILIPS

# ECL 82



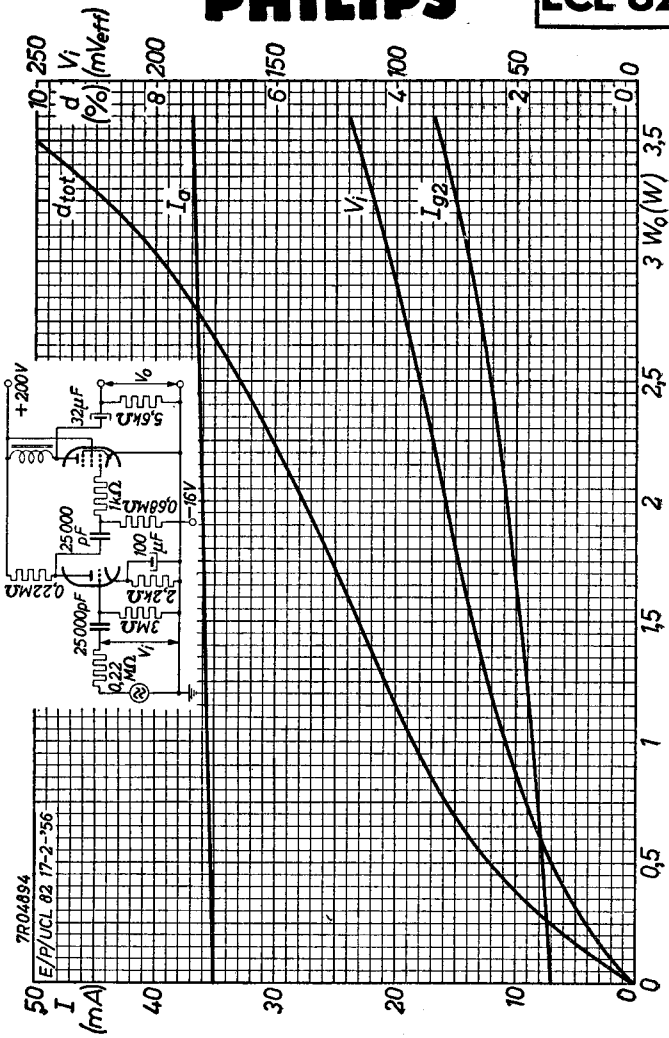
**ECL 82**

**PHILIPS**



# PHILIPS

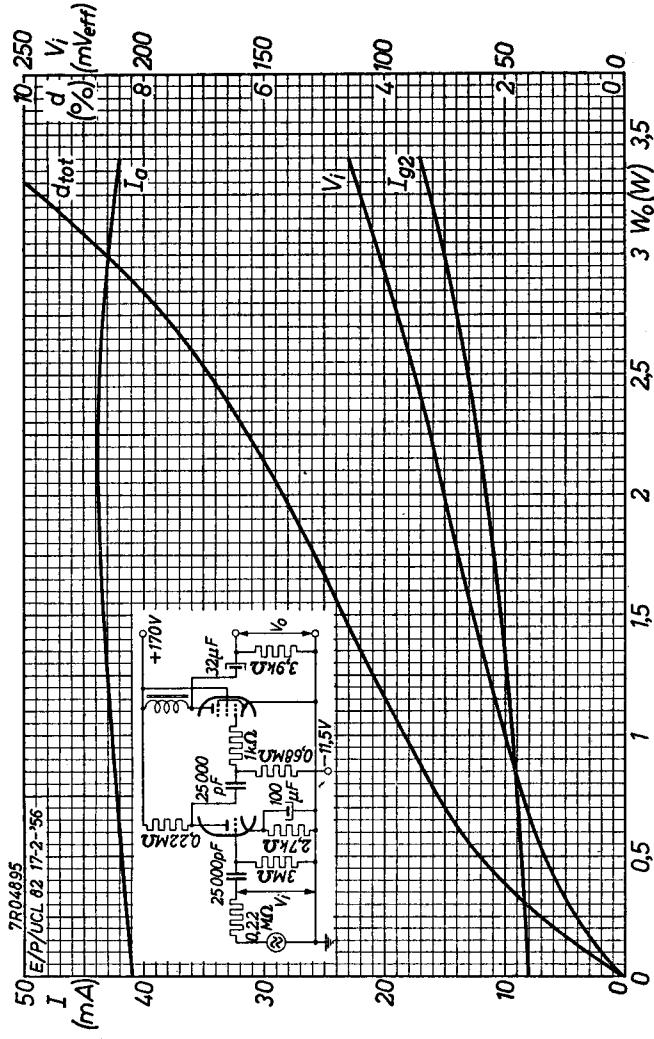
# ECL 82



10.10.1957

**ECL 82**

**PHILIPS**



**PHILIPS**

*Electronic*  
*Tube*

**HANDBOOK**

**ECL82**

<b>page</b>	<b>sheet</b>	<b>date</b>
1	1	1956.11.11
2	2	1956.11.11
3	3	1956.11.11
4	4	1956.11.11
5	5	1956.11.11
6	6	1956.11.11
7	A	1956.03.03
8	B	1956.03.03
9	C	1957.10.10
10	D	1957.10.10
11	E	1957.10.10
12	F	1957.10.10
13	G	1957.10.10
14	H	1957.10.10
15	I	1957.10.10
16	J	1957.10.10
17	FP	1999.06.26